

3. Крылов В. И., Скобля Н. С. Об условиях сходимости и оценке погрешности приближенного обращения преобразования Лапласа при помощи рядов Фурье.— Докл. АН БССР, 1967, 11, № 9, с. 763—766.
4. Крылов В. И., Скобля Н. С. Замечание о сходимости и оценке погрешности приближенного обращения преобразования Лапласа при помощи ортогональных многочленов Лежандра и Якоби.— Докл. АН БССР, 1967, 11, № 10, с. 863—866.
5. Лернер Д. М., Лернер Г. М. Упрощенный алгоритм обратного преобразования Лапласа.— Радиофизика, 1970, 13, № 4, с. 618—621.
6. Побережный О. В., Пяныло Я. Д. Об использовании численного обращения преобразования Лапласа к нестационарным задачам термоупругости для тел с трещинами.— Мат. методы и физ.-мех. поля, 1978, вып. 8, с. 45—48.
7. Цирулис Т. Т., Белов М. А. Асимптотические методы исследования схемы Папулиса для приближенного обращения преобразования Лапласа.— Учен. зап. Латв. ун-та, 1973, № 292, с. 139—154.
8. Piessens R. A. Bibliography on numerical inversion of the Laplace transform and applications.— J. Comput. and Appl. Math., 1975, 1, N 2, p. 115—128.

Институт прикладных проблем механики  
и математики АН УССР

Поступила в редколлегию  
07.02.79

УДК 531.12

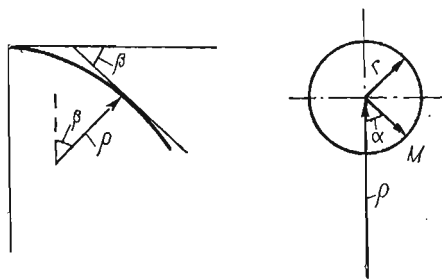
Ю. И. Сикорский, Э. Н. Сокол

#### ДВИЖЕНИЕ МАТЕРИАЛЬНОЙ ТОЧКИ В КРИВОЛИНЕЙНОМ ТРУБОПРОВОДЕ, РАСПОЛОЖЕННОМ В ВЕРТИКАЛЬНОЙ ПЛОСКОСТИ

Линеаризованные дифференциальные уравнения движения материальной точки в расположенном в вертикальной плоскости криволинейном трубопроводе при условии, что сила сопротивления пропорциональна квадрату скорости, имеют вид [2]

$$\beta = \frac{v_0}{\rho(1 + \eta v_0 t)}, \quad (1)$$

$$\ddot{\alpha} + \frac{\eta v_0}{1 + \eta v_0 t} \dot{\alpha} + \left[ \omega^2 - \frac{v_0^2}{\rho r (1 + \eta v_0 t)^2} \right] \alpha = 0, \quad (2)$$



где  $\beta$ ,  $\alpha$  — обобщенные координаты (см. рисунок);  $v_0$  — начальная скорость движения материальной точки;  $\rho$  — переменный радиус кривизны линии, на которой находятся центры поперечных сечений трубопровода;  $r$  — радиус внутренней окружности поперечного сечения криволинейного трубопровода;  $\eta$  — коэффициент, учитывающий сопротивление среды;  $g$  — ускорение силы тяжести;  $\omega^2 = \frac{g}{r}$ .

Первое уравнение с отделяющимися переменными, а второе после подстановки

$$x = \frac{\omega}{\eta v_0} (1 + \eta v_0 t) \quad (3)$$

приводится к однородному уравнению с переменными коэффициентами

$$x^2 \alpha'' + x \alpha' + \left( x^2 - \frac{1}{\eta^2 \rho r} \right) \alpha = 0. \quad (4)$$

Интегрируя уравнения (1), получаем

$$\int_0^\beta \rho d\beta = \frac{1}{\eta} \ln(1 + \eta v_0 t). \quad (5)$$



где коэффициенты  $C_1^{(1)}, C_2^{(1)}, \dots$  находим из (14):

$$C_1^{(1)} = -\frac{b_1}{(m+1)^2 + b_0} C_0^{(1)}, \dots \quad (16)$$

Аналогично находим

$$\alpha_2 = x^{m_2} \sum_{n=0}^{\infty} C_n^{(2)} x^n. \quad (17)$$

Полученные решения  $\alpha_1$  и  $\alpha_2$  будут линейно независимы, если  $m_1 - m_2$  не равно целому числу. Если корни  $m_1$  и  $m_2$  комплексные, то получим комплексные решения  $\alpha_1$  и  $\alpha_2$ . Вещественными же решениями является действительная и мнимая части комплексных решений.

Рассмотрим случай комплексных корней. Пусть  $m_{1,2} = \pm \mu i$ . Поскольку корни комплексные, то коэффициенты  $C_n$ , входящие в (12), также будут комплексными, т. е.

$$C_n^{(1)} = \delta_n^{(1)} + i\gamma_n^{(1)}. \quad (18)$$

Следовательно,

$$\alpha_1 = x^{\mu i} \sum_{n=0}^{\infty} (\delta_n^{(1)} + i\gamma_n^{(1)}) x^n = [\cos(\mu \ln x) + i \sin(\mu \ln x)] \sum_{n=0}^{\infty} (\delta_n^{(1)} + i\gamma_n^{(1)}) x^n.$$

Отделяя действительную и мнимую части, получаем

$$\begin{aligned} \alpha_1 = & \left[ \cos(\mu \ln x) \sum_{n=0}^{\infty} \delta_n^{(1)} x^n - \sin(\mu \ln x) \sum_{n=0}^{\infty} \gamma_n^{(1)} x^n \right] + \\ & + i \left[ \sin(\mu \ln x) \sum_{n=0}^{\infty} \delta_n^{(1)} x^n + \cos(\mu \ln x) \sum_{n=0}^{\infty} \gamma_n^{(1)} x^n \right] = u_1 + iv_1. \end{aligned} \quad (19)$$

Аналогично

$$\alpha_2 = u_2 + iv_2,$$

где

$$\begin{aligned} u_2 = & \cos(\mu \ln x) \sum_{n=0}^{\infty} \delta_n^{(2)} x^n + \sin(\mu \ln x) \sum_{n=0}^{\infty} \gamma_n^{(2)} x^n; \\ v_2 = & \cos(\mu \ln x) \sum_{n=0}^{\infty} \gamma_n^{(2)} x^n - \sin(\mu \ln x) \sum_{n=0}^{\infty} \delta_n^{(2)} x^n. \end{aligned}$$

Таким образом,  $u_1, v_1, u_2, v_2$  являются решениями дифференциального уравнения (11).

Так как дифференциальное уравнение второго порядка имеет не более двух линейно независимых решений, то в качестве таковых выбираем решения  $u_1$  и  $v_1$  [1]. Следовательно, решение (11) имеет вид

$$\alpha = B_1 u_1 + B_2 v_1, \quad (20)$$

где  $B_1, B_2$  — постоянные, определяемые по начальным условиям.

Рассмотрим конкретный пример. Пусть  $v_0 = 100$  м/с,  $r = 1$  м,  $\eta = 0,01$  м<sup>-1</sup>,  $g = 9,8$  м/с<sup>2</sup>,  $C = 2 \cdot 10^6$  м<sup>2</sup>. Тогда  $b_0 = 0,916$ ,  $b_1 = -0,15$ ,  $b_2 = 1$ ,  $b_3 = -0,00017$ ,  $\mu = 0,96$ . Определим  $\delta_n^{(1)}$  и  $\gamma_n^{(1)}$ , входящие в  $u_1$  и  $v_1$ . Из формул (16) и (18) имеем:

$$\delta_1^{(1)} + i\gamma_1^{(1)} = \frac{0,15}{1 + 1,92i} (\delta_0^{(1)} + i\gamma_0^{(1)}). \quad (21)$$

Так как  $\delta_0^{(1)}$  и  $\gamma_0^{(1)}$  — произвольные постоянные, то для удобства положим  $\delta_0^{(1)} = 1$ ,  $\gamma_0^{(1)} = 0$ . Тогда (21) запишется так:

$$\delta_1^{(1)} + i\gamma_1^{(1)} = 0,03200 - 0,06145i.$$

$t, c$	Аналитический метод	Численный метод	$t, c$	Аналитический метод	Численный метод
0,0	0,30000	0,30000	1,1	-0,20813	-0,30800
0,1	0,28530	0,28588	1,2	-0,18119	-0,18354
0,2	0,24445	0,24649	1,3	-0,13825	-0,14285
0,3	0,18348	0,18737	1,4	-0,08411	-0,09041
0,4	0,10955	0,11521	1,5	-0,02418	-0,03156
0,5	0,03030	0,03730	1,6	0,03569	0,02797
0,6	-0,04672	-0,03905	1,7	0,08992	0,08260
0,7	-0,11464	-0,10714	1,8	0,13365	0,12741
0,8	-0,16782	-0,16129	1,9	0,16317	0,15856
0,9	-0,20222	-0,19739	2,0	0,17621	0,17358
1,0	-0,21572	-0,21310	2,1	0,17209	0,17162

Отсюда

$$\delta_1^{(1)} = 0,03200; \quad \gamma_1^{(1)} = -0,06145$$

Аналогично

$$\delta_2^{(1)} = -0,13062, \quad \gamma_2^{(1)} = 0,12309,$$

$$\delta_3^{(1)} = -0,00002, \quad \gamma_3^{(1)} = 0,00898,$$

$$\delta_4^{(1)} = 0,00366, \quad \gamma_4^{(1)} = -0,00937,$$

$$\delta_5^{(1)} = -0,00011, \quad \gamma_5^{(1)} = -0,00036 \text{ и т. д.}$$

Всего найдено 29 значений  $\delta_n^{(1)}$  и  $\gamma_n^{(1)}$ . Вычисления, проведенные на кафедре вычислительной математики Львовского университета инженером М. А. Дзындрой, показали, что такого количества членов ряда достаточно для обеспечения заданной точности. Постоянные  $B_1 = -0,4439$ ,  $B_2 = 0,3582$  находились для начальных условий  $t = 0$ ,  $\alpha_0 = 0,3$  рад,  $\alpha_0 = 0$ .

В таблице приведены результаты вычислений аналитическим (когда решение представлено рядом) и численными методами.

1. Латышева К. Я., Терещенко Н. И. Лекции по аналитической теории дифференциальных уравнений и их приложения. — Киев: Ин-т математики АН УССР, 1970. — 393 с.
2. Сокол Э. Н. Движение материальной точки в криволинейном трубопроводе с учетом сил сопротивления. — Мат. методы и физ.-мех. поля, 1978, вып. 8, с. 124—127.

Киевское высшее военное инженерное училище связи  
Украинский научно-исследовательский  
геолого-разведочный институт

Поступила в редколлегию  
19.07.78

УДК 539.377

Г. С. Кит, И. П. Лысый

### ВЛИЯНИЕ ИСТОЧНИКА ТЕПЛА НА НАПРЯЖЕННОЕ СОСТОЯНИЕ ПОЛОСЫ С ТРЕЩИНОЙ

Пусть упругая бесконечная полоса шириной  $2d$ , в которой имеется теплоизолированная трещина длиной  $2l$ , расположенная на средней линии полосы, нагревается стационарным источником тепла мощности  $W$ . Предположим, что на гранях полосы, свободных от внешних усилий, заданы температурные условия первого, второго или третьего рода.

Температуру  $T(x, y)$  представим в виде двух слагаемых:

$$T(x, y) = t^*(x, y) + t(x, y). \quad (1)$$

Здесь  $t^*(x, y)$  — основное температурное поле в сплошной полосе с источником тепла, размещенным в точке  $A(b, c)$ , которое определяем из уравне-